

## ภาคผนวก

ภาคผนวก ก.

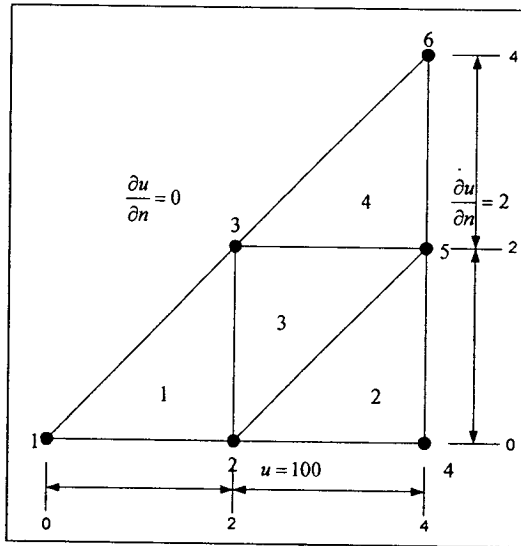
การประยุกต์เงื่อนไขค่าเริ่มต้นและเงื่อนไขค่าขอบเขต

สำหรับปัญหาในสถานะชั่วครุ่นนั้น การประยุกต์เงื่อนไขค่าเริ่มต้น (initial condition) ของปัญหาเป็นสิ่งที่สำคัญมาก โดยทั่วไปเนื่องจากสามารถเขียนได้ดังสมการที่ (ก.1)

$$T(x, y, z, 0) = T_0(x, y, z) \quad (\text{ก.1})$$

โดยที่  $T_0$  คือ อุณหภูมิเริ่มแรกที่ตำแหน่งต่างๆ บนวัตถุนั้น

การประยุกต์เงื่อนไขค่าขอบเขต (boundary condition) เป็นส่วนสำคัญอีกอย่างหนึ่งในขั้นตอนการจำลองผลด้วยระเบียบวิธีไฟน์ทอโลน์โดยในงานวิจัยวิทยานิพนธ์นี้ได้มีการประยุกต์ใช้เงื่อนไขค่าขอบเขตอยู่ 2 แบบด้วยกันคือ การประยุกต์เงื่อนไขขอบเขตแบบนอยมันน์ (Neumann) และการประยุกต์เงื่อนไขขอบเขตแบบดิริเคล (Dirichlet) ซึ่งจะทำการยกตัวอย่างระบบขนาดเล็กเพื่อพอยให้เห็นภาพการประยุกต์เงื่อนไขค่าขอบเขตทั้ง 2 แบบ โดยสามารถแสดงกริดของปัญหาร่วมทั้งการระบุขอบเขตของปัญหาทั้งแบบนอยมันน์และดิริเคลได้ดังรูปที่ ก.1



รูปที่ ก.1 ตัวอย่างปัญหาสำหรับประยุกต์เงื่อนไขขอบเขต

กำหนดให้เมทริกซ์  $[K_{sys}]$  ของสมการเชิงเส้นระบบรวม  $[K_{sys}]\{u\} = \{f_{sys}\}$  เป็นดังสมการที่ (ก.2)

$$[K_{ss}] = \begin{bmatrix} 1 & 2 & 3 & 4 & 5 & 6 \\ 5 & 2 & 1 & 3 & 4 & 6 \\ 6 & 5 & 3 & 2 & 1 & 4 \\ 4 & 2 & 3 & 6 & 5 & 1 \\ 2 & 3 & 4 & 1 & 6 & 5 \\ 3 & 6 & 5 & 2 & 4 & 1 \end{bmatrix} \quad (k.2)$$

กำหนดให้โหลดเวกเตอร์แต่ละอิลิเมนท์ เมื่ออิลิเมนท์นั้นไม่มีขอบใดเป็นขอบเขตของปัญหาแสดงได้ดังสมการที่ (ก.3) และเมื่ออิลิเมนท์นั้นมีขอบเป็นขอบเขตของปัญหาแสดงได้ดังสมการที่ (ก.4)

$$\{f^{(e)}\} = \frac{\varrho \Delta_e}{3} \begin{bmatrix} 1 \\ 1 \\ 1 \end{bmatrix} \quad (k.3)$$

$$\{f^{(e)}\} = \frac{\varrho h_{mn} d \Delta_e}{3} \begin{bmatrix} i \\ j \\ k \end{bmatrix} \quad (k.4)$$

- โดยที่
- $Q$  คือ ค่าสัมประสิทธิ์ ซึ่งในที่นี้สมมติให้มีค่าเท่ากับ 1
  - $h_{mn}$  คือ ระยะห่างระหว่างโหนด  $m$  และ  $n$
  - $d$  คือ ค่าเงื่อนไขขอบเขตแบบนอยมันน์
  - $\Delta_e$  คือ พื้นที่ประจำอิลิเมนท์
  - $i, j, k$  คือ ค่าประจำโหนดของแต่ละอิลิเมนท์ ซึ่งมีค่าเท่ากับ 1 เมื่อโหนดนั้นเป็นโหนดที่ติดกับขอบแบบนอยมันน์ที่พิจารณาและมีค่าเท่ากับ 0 เมื่อไม่ติดกับขอบนอยมันน์

เนื่องจากการกำหนดเงื่อนไขแบบนอยมันน์จะมีความสัมพันธ์กับโหลดเวกเตอร์แต่ละอิลิเมนท์โดยตรง ดังนั้นจึงต้องทำการกำหนดเงื่อนไขแบบนอยมันน์ในแต่ละอิลิเมนท์ก่อนที่จะทำการสร้างสมการโหลดเวกเตอร์ระบบรวมแล้วจึงกำหนดเงื่อนไขแบบดิริเคลเพื่อทำการแก้ระบบสมการเชิงเส้นต่อไป

### การประยุกต์เงื่อนไขขอบเขตแบบนอยมัնน์

การประยุกต์เงื่อนไขขอบเขตแบบนอยมันน์จะกระทำกับอลิเมนท์ที่อยู่ที่บริเวณขอบของเงื่อนไขซึ่งจากรูปที่ ก.1 ประกอบกับจากสมการที่ (ก.2) และ (ก.3) เมื่อพิจารณาเงื่อนไขขอบเขตแบบนอยมันน์สามารถเขียนเป็นสมการโหลดเวกเตอร์แต่ละอลิเมนท์ได้ดังนี้ (เมื่อสมมติให้  $Q = 1$ )

$$\{f^{(1)}\} = \frac{(2\sqrt{2})(0)(2)}{3} \begin{bmatrix} 1 \\ 0 \\ 1 \end{bmatrix} = \begin{bmatrix} 0 \\ 0 \\ 0 \end{bmatrix}$$

$$\{f^{(2)}\} = \frac{(2)(2)(2)}{3} \begin{bmatrix} 0 \\ 1 \\ 1 \end{bmatrix} = \begin{bmatrix} 0 \\ 2.67 \\ 2.67 \end{bmatrix}$$

$$\{f^{(3)}\} = \frac{2}{3} \begin{bmatrix} 1 \\ 1 \\ 1 \end{bmatrix} = \begin{bmatrix} 0.67 \\ 0.67 \\ 0.67 \end{bmatrix}$$

$$\{f^{(4)}\} = \frac{(2)(2)(2)}{3} \begin{bmatrix} 0 \\ 1 \\ 1 \end{bmatrix} + \frac{(2\sqrt{2})(0)(2)}{3} \begin{bmatrix} 1 \\ 0 \\ 1 \end{bmatrix} = \begin{bmatrix} 0 \\ 2.67 \\ 2.67 \end{bmatrix}$$

จากโหลดเวกเตอร์แต่ละอลิเมนท์สามารถเขียนเป็นโหลดเวกเตอร์ระบบรวมได้ดังนี้

$$\{f_{sys}\} = \begin{bmatrix} 0 \\ 0.67 \\ 0.67 \\ 2.67 \\ 6.01 \\ 2.67 \end{bmatrix}$$

ดังนั้นจะได้สมการระบบรวมสำหรับปัญหาในรูปที่ ก.1 ดังสมการที่ (ก.5)

$$\begin{bmatrix} 1 & 2 & 3 & 4 & 5 & 6 \\ 5 & 2 & 1 & 3 & 4 & 6 \\ 6 & 5 & 3 & 2 & 1 & 4 \\ 4 & 2 & 3 & 6 & 5 & 1 \\ 2 & 3 & 4 & 1 & 6 & 5 \\ 3 & 6 & 5 & 2 & 4 & 1 \end{bmatrix} \begin{bmatrix} u_1 \\ u_2 \\ u_3 \\ u_4 \\ u_5 \\ u_6 \end{bmatrix} = \begin{bmatrix} 0 \\ 0.67 \\ 0.67 \\ 2.67 \\ 6.01 \\ 2.67 \end{bmatrix} \quad (ก.5)$$

### การประยุกต์เงื่อนไขขอบเขตแบบดิริเคล

หลังจากได้สมการระบบรวมดังสมการที่ (ก.5) และ จากนั้นจึงทำการกำหนดเงื่อนไข ขอบเขตแบบดิริเคล โดยจากรูปที่ ก.1 ทราบค่าคงตัวที่หนด 1, 2 และ 4 มีค่าเป็น 100 ดังนั้นเมื่อทำการประยุกต์เงื่อนไขขอบเขตแบบดิริเคลจึงได้ดังสมการที่ (ก.6)

$$\begin{bmatrix} 1 & 0 & 0 & 0 & 0 & 0 \\ 0 & 1 & 0 & 0 & 0 & 0 \\ 0 & 0 & 3 & 0 & 1 & 4 \\ 0 & 0 & 0 & 1 & 0 & 0 \\ 0 & 0 & 4 & 0 & 6 & 5 \\ 0 & 0 & 5 & 0 & 4 & 1 \end{bmatrix} \begin{bmatrix} u_1 \\ u_2 \\ u_3 \\ u_4 \\ u_5 \\ u_6 \end{bmatrix} = \begin{bmatrix} 100 \\ 100 \\ 0.67 - 6(100) - 5(100) - 2(100) \\ 100 \\ 6.01 - 2(100) - 3(100) - 1(100) \\ 2.67 - 3(100) - 6(100) - 2(100) \end{bmatrix} \quad (ก.6)$$

จากสมการที่ (ก.6) สามารถนำไปแก้สมการเชิงเส้นเพื่อหาผลเฉลยได้ในขั้นตอนถัดไป

ภาคผนวก ช.

บทความวิจัยที่ได้รับการตีพิมพ์ในการประชุมวิชาการ

## บทความวิจัยที่ได้รับการตีพิมพ์ในการประชุมวิชาการ

พีรวัฒน์ มีสุข ภูชิต ถึงสุข และเจนศักดิ์ เอกบูรณะวัฒน์ การวิเคราะห์ผลกระทบของสนามแม่เหล็กที่เกิดจากความผิดพร่องในหม้อแปลงจำหน่าย การประชุมเครือข่ายวิชากรรมมหาวิทยาลัยเทคโนโลยีราชมงคล (EENETT2014), 26-28 มีนาคม 2556 โรงแรมมารีไทม์ ปาร์คแอนด์สปาเรสอร์ท จังหวัดกระเป

บกฟรีซม

ການປະຕູວັດກາຮ່ວມທີ່ອໍານວຍສາງຕະຫຼາມໄຟໄຟເພນວິທີ່ອົບຖາວອນໃນໄລຍະ ທາງເນັດຄວ້າທີ່ ၁၀

Proceedings of the 6<sup>th</sup> Conference of Electrical Engineering Network of Rajamangala University of Technology 2014 (EENET 2014)

การวิเคราะห์ผลกระทบทางสังคมเพิ่มเติมที่เกิดจากความผิดพลาดของนักประดิษฐ์ในหนังสือแปลงชื่อหนังฯ

Analysis of Magnetic Field Effect Caused Fault in Distribution Transformer

ກົດວ່າລົມ ນີ້ສູງ + ຖື້ນີ້ ດີ້ສູງ ແລະ ຮອນທີ່ກົດເອກນຸ່ວະ ວິລັນ

ห้องประชุมต้องการวิจัยนักศึกษาในห้องเรียนที่มีความต้องการเรียนรู้อย่างลึกซึ้ง

ສາທາລະນະລັດ ປະຊາທິປະໄຕ ປະຊາຊົນລາວ ຖະໜາຍ ວິທະຍາໄລ ປະຊາຊົນລາວ ປະຊາຊົນລາວ

96 នានា ៣ នានា រាជរដ្ឋាភិបាល សាខាត ក.ស.រ.អ.នានា ៩ នានា រាជរដ្ឋាភិបាល ៩ នានា មិថុនា ១២ ៩ នានា ភ្នំពេញ ០៩ ០២៣៨៩-៤៥៥ ទី ២៦៦៩ អាសយដ្ឋាន: [secretariat@moes.moi.gov.kh](mailto:secretariat@moes.moi.gov.kh)

મન્ત્રાંગ

บทความนี้ได้นำเสนอหนังสือเรื่องทางคณิตศาสตร์ของสมัยหนึ่งที่ในหนังสือแปลงจากภาษาอังกฤษเป็นภาษาไทยโดยทันทีของบุคคลดังต่อไปนี้ ให้ไว้ก่อนจะทำการอธิบายและสรุป สมมติฐานที่เกิดขึ้นในหนังสือแปลงในส่วนของการเก็บรวบรวมที่พิเคราะห์และส่วนการแก้ปัญหาจึงขออภัยที่ไม่สามารถนำตัวอย่างที่ได้รับมาไว้ใช้ในหัวข้อนี้ที่พิเศษนี้ได้ แต่จะพยายามอธิบายให้เข้าใจในส่วนที่เหลือที่ไม่ได้กล่าวถึงในหนังสือแปลงนี้ สำหรับผู้อ่านที่สนใจจะศึกษาเรื่องนี้ในรายละเอียดมากขึ้น แนะนำให้ลองอ่านหนังสือที่ชื่อว่า "MATLAB Programming for Numerical Computation" โดยท่านจะพบว่ามีบทที่อธิบายรายละเอียดของ MATLAB อย่างลึกซึ้งและมีประโยชน์มาก

**ລັດໄສເກົດ:** ທີ່ອີກປ່ອງຈຳການໜ້າ, ສາມາດພິ່ນເຫຼືດ, ລວມພິຄທ່ອງ  
ໃຈໄນ້ໃນທົດລົມບັນຍຸ

Abstract

This paper proposes a mathematical model of magnetic fields in distribution transformer by using a set of second-order partial differential equations. The analysis of the distribution of magnetic field effect was investigated the caused fault and normality. Computer-based simulation utilizing the three dimensional finite element method in the time harmonic mode, instructed in MATLAB programming environment with graphical representation for magnetic field strength has been evaluated. The simulation results show that the caused fault influence the magnetic field distribution in the transformer.

**Keywords:** distribution transformer, magnetic field, fault, finite element

1 min

หัวเรื่องประดิษฐ์ กานต์ (Distribution Transformer) เป็นหุ่นยนต์ที่สำคัญอย่างมากในระบบสื่อสารที่ดำเนินการในฟาร์ม โดยหัวเรื่องประดิษฐ์จะเป็นผู้จัดการที่ช่วยให้ระบบทำงานได้ดีขึ้น ซึ่งหัวเรื่องประดิษฐ์

บทที่เป็นหัวข้ออีกสองส่วนนี้ให้การอธิบายทางสมการลักษณะของร่อง ในช่องน้ำที่ความตื้นของร่องน้ำให้เกิดขึ้นในภาคอุดลักษณะรวมถึง กองคลื่นร่องน้ำ ที่มาให้ระบบน้ำไปมีขนาดของร่องน้ำที่บานกว่าตอนที่ร่องน้ำแคบลง นำไปสู่การเรียงตัวของท่อที่บานกว่าเดิม และอาจเกิดความผิดปกติ (Fault) ขึ้นในระบบได้ สร้างความผิดปกติของสมบัติเดิมๆ ให้เสื่อม ลดอัตราไป กระบวนการพิคท์ของแม่น้ำถูกดัดแปลงตามกิจกรรมทางน้ำ การกระแสจะดัดแปลง สมบัติเดิมๆ กลับไปใหม่และปลดล็อกท่อที่บานกว่าเดิมซึ่งอยู่กับระบบใหม่ของ น้ำที่บานกว่าเดิม เช่นเดียวกับการกระทำของมนุษย์ที่เปลี่ยนแปลงร่องน้ำให้บานกว่าเดิม ไม่สังเกตว่าที่เกิดต่อตันน้ำไปโดยธรรมชาติหรือเกิดร่วมกันก็ได้

## 2. แบบจ้ากต่องทางคณิตศาสตร์ชั้นอนุบาลเมืองทักษิณ

ในการคำนวณทางคณิตศาสตร์ **B** สามารถคำนวณได้โดยใช้ตัวแปรที่เป็นเวกเตอร์ **B** ซึ่งเป็นเวกเตอร์ที่มีองค์ประกอบของเวกเตอร์ที่มีองค์ประกอบของเวกเตอร์ **A** คือ  $\vec{B} = \vec{A}$  ดังนั้น **B** จึงมีองค์ประกอบของ **A** ทั้งหมด **B** สามารถคำนวณได้โดยใช้ตัวแปรที่เป็นเวกเตอร์ **B** ซึ่งเป็นเวกเตอร์ที่มีองค์ประกอบของเวกเตอร์ **A** ดังนั้น **B** จึงมีองค์ประกอบของ **A** ทั้งหมด

$$\mathbf{B} = \nabla \times \mathbf{A} \quad (1)$$

บทความนี้ได้ก่อตัวจากการบล็อกความคลื่นไฟฟ้าเมล็ดรวมที่ (time-harmonic) ให้สามารถแทน  $\mathbf{A}$  ด้วยในรูปแบบเชิงซ้อน (complex form)  $\mathbf{A} = A e^{j\omega t}$  ไปแล้วทัน

$$\frac{\hat{c}\mathbf{A}}{\hat{e}_t} = j\omega d$$

ទំនើង ១ គិចតាមរយៈទីក្រុងរដ្ឋបាល និងរយៈពិភាក្សាប្រជាពលរដ្ឋបាល ៣  
និងនានានា/ខ. ន. ២ និង ៤

$$\frac{\partial}{\partial x} \left( \frac{1}{\mu} \frac{\partial A}{\partial x} \right) + \frac{\partial}{\partial y} \left( \frac{1}{\mu} \frac{\partial A}{\partial y} \right) + \frac{\partial}{\partial z} \left( \frac{1}{\mu} \frac{\partial A}{\partial z} \right) - j\sigma\omega A + J_s = 0 \quad (c)$$

๒๖-๒๙ ที่นี่คือที่สุดของความงามในโลกใบนี้

บก. กวม

การประเมินวิชาการครั้งที่ 3 ผู้เรียนสามารถนำไปใช้เพื่อวิเคราะห์ผลการเรียนในครั้งนี้ได้ดีมาก

Proceedings of the 6<sup>th</sup> Conference of Electrical Engineering Network of Rajarata University of Technology, 2014 (EESET 2014)

ก้าวเดียวต้องรับความท้าทายที่ต้องเผชิญหน้าทันที ยังคงเป็นภารกิจที่ต้องดำเนินการต่อไปอย่างต่อเนื่อง ไม่ว่าจะด้วยสาเหตุใดๆ ก็ตาม แต่ในส่วนของผู้คนที่ต้องรับภาระนี้ ต้องมีความตั้งใจที่แน่วแน่และมีความอดทนอย่างมาก ไม่ใช่เรื่องง่ายที่จะสามารถบรรลุเป้าหมายได้ แต่เมื่อได้รับการสนับสนุนจากผู้คนที่ดี ภารกิจจะดำเนินต่อไปอย่างราบรื่นและประสบความสำเร็จได้ [2]

### 3. ໄຟຟ້ນທົດແມ່ນທີ່ບໍ່ມີ ຕຸກລັບນ້ອຍປະໂຫຍດ

### 3.1 ອີເມນກໍາຂອງວະບຸນທຶນ

บทความนี้ได้กล่าวมาเพื่อเป็นการสรุปว่า ไฟฟ้าแรงดัน 400 kVA, 22 kV 400 V มีการติดตั้งแบบ Dyn ซึ่งสามารถลดลงความต้องการไฟฟ้าของบ้านที่อยู่ในบ้านนี้ได้ 20% จึงขอขอบคุณไฟฟ้ากำแพงที่ช่วยให้บ้านเรามีความสะดวกอย่างมากในส่วนของการใช้ไฟฟ้าที่ต้องการ

$$N_i = \frac{1}{6F} (a_i + b_i x + c_i y + d_i z) \quad (4)$$

ผลิตภัณฑ์ที่มีคุณภาพดีและมีประสิทธิภาพสูง

วิธีการนี้เรียกว่า “วิธีการอัตโนมัติ” หรือ “วิธีการอัตโนมัติแบบเชิงเส้น” ที่ใช้ในปัจจุบัน คือ การคำนวณทางฟิสิกส์โดยใช้คอมพิวเตอร์ที่ (2) คำนวณสมการด้วยทฤษฎีเชิงเส้นที่ล้ำกว่า “วิธีการเชิงเส้น” นั่นคือ “วิธีการอัตโนมัติแบบเชิงเส้นที่ไม่สามารถอธิบายด้วยตัวเลข” ( $\Omega$ ) แต่ก็ยังคงอัตโนมัติได้เช่นเดิมอย่างไรก็ตาม

ໃຫຍ່ທີ່ລັດໜີນກາງອິນເທິກາຕະຫຼາມບູງແພື່ອຈະໄສດ້ອຳນວຍປິດ  
ກາງຕະຫຼາມຂຶ້ນ ຊີ່ພົມຄວາມໃຫຍ່ຢູ່ມີການຕະຫຼາມກົດຈົກຈົງໄດ້ດີ່ນີ້

$$[M+K]_{k,k} \{A\}_{k,k} = \{F\}_{k,k} \quad (5)$$

三五〇

$$[M]_{i,i} = \frac{\cos i}{20} \begin{bmatrix} 2 & 1 & 1 & 1 \\ 1 & 2 & 1 & 1 \\ 1 & 1 & 2 & 1 \\ 1 & 1 & 1 & 2 \end{bmatrix}$$

$$[K]_{n,m} = \frac{1}{36uV} (b_n b_m + c_n c_m + d_n d_m) \quad n, m = 1, 2, 3, 4$$

$$(F)_{\text{act}} = \frac{J_2 V}{4} \begin{bmatrix} 1 \\ 1 \\ 1 \\ 1 \end{bmatrix}$$

ສາທິປະໄຕເສດຖະກິອງທີ່ເມນົາໃຫ້ມາປະກອບດັນ (assembly) ເປັນສອນການຮຽນຂອງລາຍນີ ໂດຍຫຼັກແພີ້ມເຄືອຂະໜາງປ່ຽນຂອງມີມູນຄວາມເປັນດີເລີນນັ້ນທີ່ອໍານັດປະກອບດັນສຳ ອຸ່ນດັບ ດີ່ນັ້ນດັບໃຫ້ເຕີດຮັບນັກການ ນັ້ນຈີ່ມີມາດັບດີເພື່ອການທີ່ອໍານັດນີ້ສິ້ນກາງ

### 3.2 การตัวบ่งชี้การอิทธิพลที่ดีของปัจจัยทางกายภาพในน้ำ

$$A(x, y, z) = A_1 N_1 + A_2 N_2 + A_3 N_3 + A_4 N_4 \quad (3)$$

แบบที่ N = 1,2,3,4 คือปัจจัยตัวแปรขนาดต่อไปนี้ด้วยหน่วย  
เวลา A<sub>i</sub>, i=1,2,3,4 ก็จะผลักดันของที่อยู่ด้านบนของตัวแปรที่ต้องการ  
ให้ 1,2,3,4 หายไปเป็นที่ 3

### 3.3 ព័ត៌មានអនុញ្ញាត

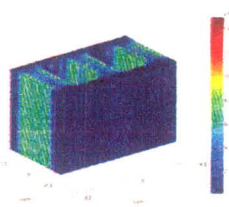
บทกวี

การดำเนินการด้วยความตั้งใจที่จะให้ลูกค้ารับไปได้เป็นอย่างดีและมีความสุขในวันเดียว จึงเป็นจุดเด่นที่สำคัญที่สุด

Proceedings of the 6<sup>th</sup> Conference of Electrical Engineering Network of Rajamangala University of Technology 2014 (EENET 2014)

#### 4. អត្ថាកវ នៃការងារកិច្ចការណ៍

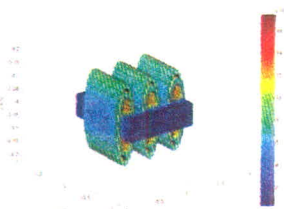
การเขียน脚本 MATLAB ให้สามารถ



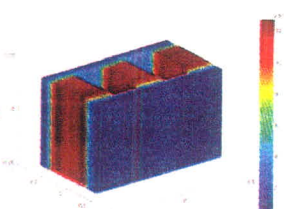
ญี่ปุ่น 4 แห่งและ 2 เทศบาลนครในประเทศญี่ปุ่น (T) ที่มีการอนุมัติแล้ว

#### 4.1 งานพัฒนาธุรกิจในสภาวะปัจจุบัน

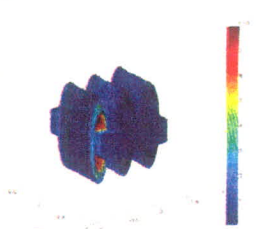
ในปีที่ ๓ เป็นการทดสอบภาระทางกายภาพของเด็กที่มีความต้องการที่จะเข้าสู่ช่วงวัยเด็กที่ ๔ นั่นก็คือเด็กที่มีความสามารถทางด้านร่างกายและจิตใจที่สามารถเรียนรู้และพัฒนาตัวเองได้ดีกว่าเด็กที่อยู่ในช่วงวัยเด็กที่ ๒ ปี ปีที่ ๕ เป็นการทดสอบภาระทางกายภาพของเด็กที่มีความสามารถทางด้านร่างกายและจิตใจที่สามารถเข้าสู่ช่วงวัยเด็กที่ ๖ ปี ให้เด็กที่มีความสามารถทางด้านร่างกายและจิตใจที่ดีกว่าเด็กที่อยู่ในช่วงวัยเด็กที่ ๔ ปี ให้เด็กที่มีความสามารถทางด้านร่างกายและจิตใจที่ดีกว่าเด็กที่อยู่ในช่วงวัยเด็กที่ ๕ ปี ให้เด็กที่มีความสามารถทางด้านร่างกายและจิตใจที่ดีกว่าเด็กที่อยู่ในช่วงวัยเด็กที่ ๖ ปี



รูปที่ 2 การตั้งค่าให้เวลาทำงานของเครื่องมือตัดเรียบมีผลลัพธ์ ( $\text{mm}$ ) ที่นับได้ตาม  
ความต้องการของผู้ใช้งาน



ผู้ที่ต้องการจะเข้าร่วมกิจกรรมนี้ต้องมีอายุไม่น้อยกว่า 18 ปี และต้องมีความสามารถทางบวก (positive) ที่สูงมาก



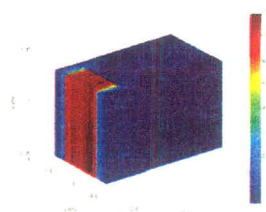
ก่อนที่จะต้องตัดสินใจเลือกซื้อเครื่องสำอางค์ ให้ลองใช้เวลาสักวันสองวัน ลองลองใช้ตัวอย่างเครื่องสำอางค์ที่มีอยู่บ้านก่อน แล้วลองประเมินผลกันดูว่า ตัวเองชอบหรือไม่ ถ้าชอบ ก็ลองซื้อมาใช้ต่อไป

16-23 กวันต่อเดือน ค่าไฟฟ้า

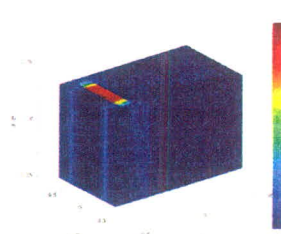
บทที่ ๗

ก้าวไปสู่ความสำเร็จทางอาชีวศึกษา รวมถึงการพัฒนาความสามารถทางอาชีวศึกษาในเชิงคุณภาพและเชิงคุณค่า

Proceedings of the 6<sup>th</sup> Conference of Electrical Engineering Network of Rajamangala University of Technology, 2014 (EENET 2014)



รุปที่ ๔ ภารกิจของอาจารย์ทั่วไป เผด็จศิริชัยพูลผล รุ่นพี่ห้าลีด (๒๖๗๘) ที่บิ๊กแอฟ  
อนุញต์สืบต่อจากนายนักศึกษาในสังกัดฯ ที่ดูแลงานกิจกรรม



ญี่ปุ่น 7 จังหวัด ตั้งแต่ที่ต้องการซื้อขายหุ้นของตน (T) ที่มีไว้ในบัญชีของตน ให้กับผู้ซื้อในญี่ปุ่น 7 จังหวัด ที่ต้องการซื้อขายหุ้นของตน (T) ที่มีไว้ในบัญชีของตน

“นี่คือที่มาของความเรียบง่ายใน ญี่ปุ่น” รู้สึกว่าตัวเองหล่อหลอมให้เป็นคนดีที่สุดแล้ว แต่ก็ต้องยอมรับว่า “คนดี” ไม่ใช่เรื่องที่เกิดขึ้นในโลกภายนอก แต่เป็นเรื่องที่ต้องมีความตั้งใจ ความตั้งมั่น และความอดทนอยู่ภายในตัวเอง ไม่ใช่เรื่องที่จะสามารถซื้อมาได้ แต่เป็นเรื่องที่ต้องใช้เวลาและพยายามอย่างต่อเนื่อง จึงจะสามารถบรรลุได้

5/5

นักลงทุนที่ได้รับอนุญาตจดทะเบียน ตามมาตรา ๑๘๙ ของพระราชบัญญัตินี้ ให้เป็นผู้ซื้อขายหุ้นที่ออกโดยบุคคลที่ได้รับอนุญาตจดทะเบียน ตามมาตรา ๑๘๙ ของพระราชบัญญัตินี้ ได้โดยชอบด้วยกฎหมาย แต่หุ้นที่ออกโดยบุคคลที่ได้รับอนุญาตจดทะเบียน ตามมาตรา ๑๘๙ ของพระราชบัญญัตินี้ ไม่ได้ ให้เป็นหุ้นที่ออกโดยบุคคลที่ได้รับอนุญาตจดทะเบียน ตามมาตรา ๑๘๙ ของพระราชบัญญัตินี้

## ๖. ภารกิจรวมประเทศ

ผู้ใช้ชื่อของบุคคลน้ำทิ้งหรือล้อเล่นในโซเชียลมีเดียไม่สามารถรับสิ่งของที่มีค่าความคิดเห็นทางการเมืองที่ต้องการได้

‘ອອກຈາກເມືອງ’

- [1] Chatzopoulos, C. (1995). The transmission - line modeling method. TLM. USA: IEEE Press.
  - [2] Pao-Lor, P., Kultowarawachipong, T., Supijora, S., & Peungsoung, S. (2006). Distribution of flux and electromagnetic force in induction motors: A finite element approach. WSEAS Transactions on Systems, 5(3), 617-624.
  - [3] Pescan, T. W., Reece, A. B. L., & Saagha, P. S. (1998). Induction motor analysis by time-stepping techniques. IEEE Transactions on Magnetics, 24(1), 471-474.
  - [4] Kim, B. T., Kwon, B. L., & Park, S. C. (1999). Reduction of electromagnetic force harmonics in asynchronous traction motor by adapting the rotor slot number. IEEE Transactions on Magnetics, 35(3), 3742-3744.
  - [5] Mecnik, P., Kultowarawachipong, T., and Pao-Lor, P. (2011). Magnetic Field Analysis for a Distribution Transformer with Unbalanced Load Conditions by Using 3-D Finite Element Method. World Academy of Science Engineering and Technology, issue 60, December 2011, pp. 339-344.
  - [6] Kulkarni, V., Kalsi, S. A. (2004). Transformer Engineering Design and Practice. USA: Marcel Dekker, Inc.
  - [7] Matto, V. N., & Matto, A. (1996). Design of electrical machines. Standard Publishers.
  - [8] ឧត្តមសាសនា ៩៣ (២៤៧). វិបាទអនុញ្ញាតនិងវិធាននិរាង (ចំណាំ ១-៣). ភ្នំពេញ: នាយកដ្ឋានរាជរដ្ឋបាល.